УДК 551.461.

## ВЛИЯНИЕ ЭЛЕМЕНТОВ ФОРМ РЕЛЬЕФА НА СРЕДНИЕ ТЕМПЕРАТУРЫ ВОЗДУХА НА ТЕРРИТОРИИ СЕВЕРНОГО, СЕВЕРО-ЗАПАДНОГО КЫРГЫЗСТАНА

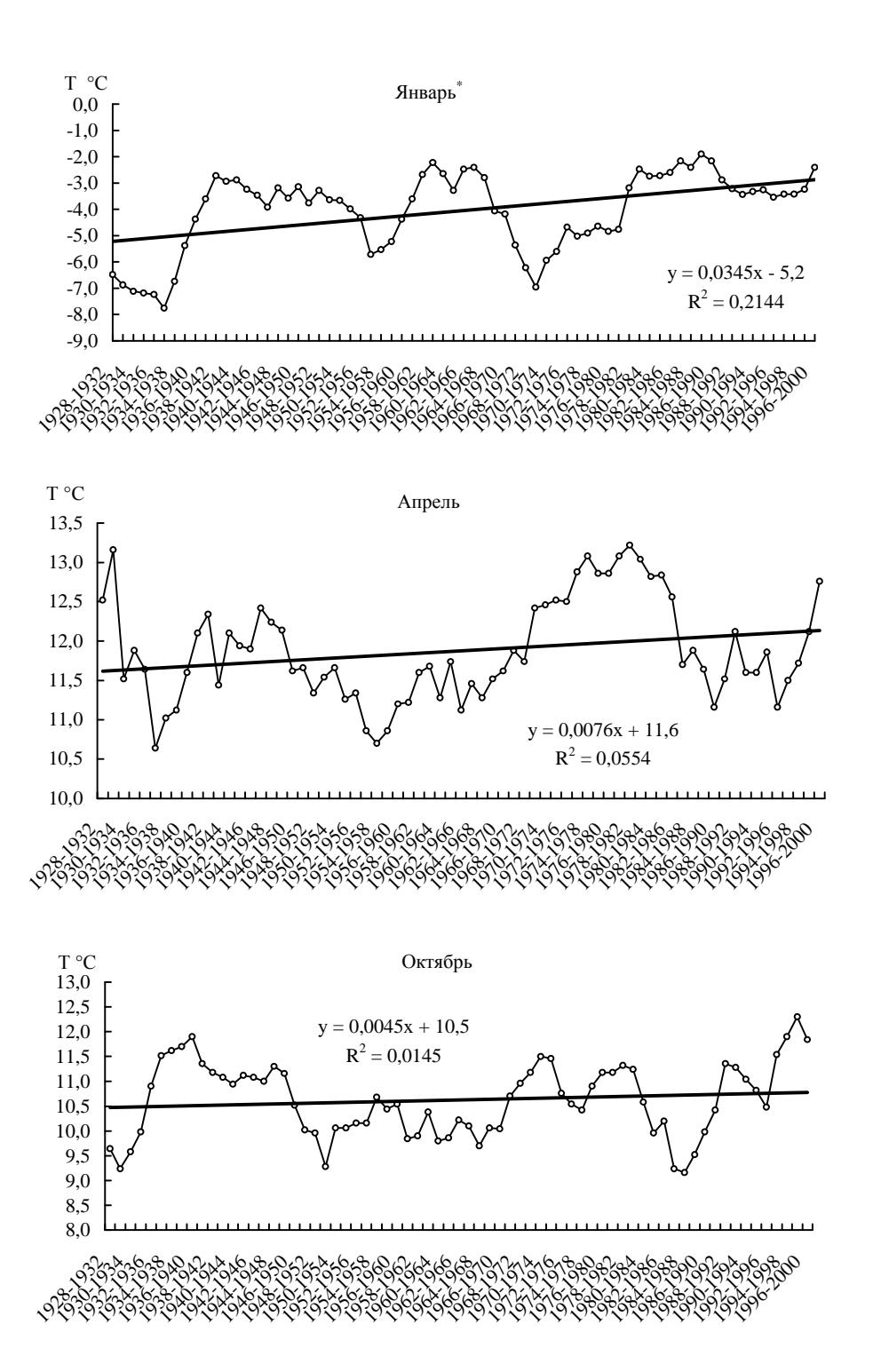
М.В. Перова

Для выявления долгопериодных колебаний средней температуры воздуха были рассчитаны скользящие 5-летние и 10-летние их значения и временные тренды за время инструментальных наблюдений по 2000 г. для 4 метеорологических станций Северного, Северо-Западного Кыргызстана: Бишкек, Байтык, Тюя-Ашуу северная и Талас. Можно сделать вывод о противоположных тенденциях в многолетнем изменении температуры в долинах и низкогорных зонах склонов по сравнению с высокогорными.

Потепление глобального климата Земли вызвало изменение температурных режимов в различных районах планеты, отличающихся своими региональными особенностями. Особенно справедливо это для горных стран, где на формирование температуры воздуха оказывает сильное влияние и рельеф.

Одними из показательных характеристик режима температуры являются временной ход их скользящих средних и тренды. Такие исследования для различных территорий были проведены в работах [3, 6], в том числе и для Кыргызстана [1, 2, 9]. Для Северного и Северо-Западного Кыргызстана (ССЗК) эти исследования в таком объеме выполнены впервые.

Для выявления колебаний средних месячных, средних годовых и средних за холодный сезон температур воздуха, имеющих период 5 лет и более, были рассчитаны их скользящие 5-летние и 10-летние средние, временные тренды за время инструментальных наблюдений по 2000 г. для 4 метеорологических станций ССЗК: Бишкек, Байтык, Тюя-Ашуу северная и Талас. Как известно, скользящие средние обладают тем свойством, что исключают во временных рядах колебания меньшие, чем период осреднения (в данном случае менее 5 или 10 лет), позволяя нагляднее выявить колебания больших временных масштабов [4, 5, 7]. На рис. 1, 2 в качестве примера показаны графики временного хода 5 и 10-летних средних температур по М Бишкек с нанесенными линиями трендов.



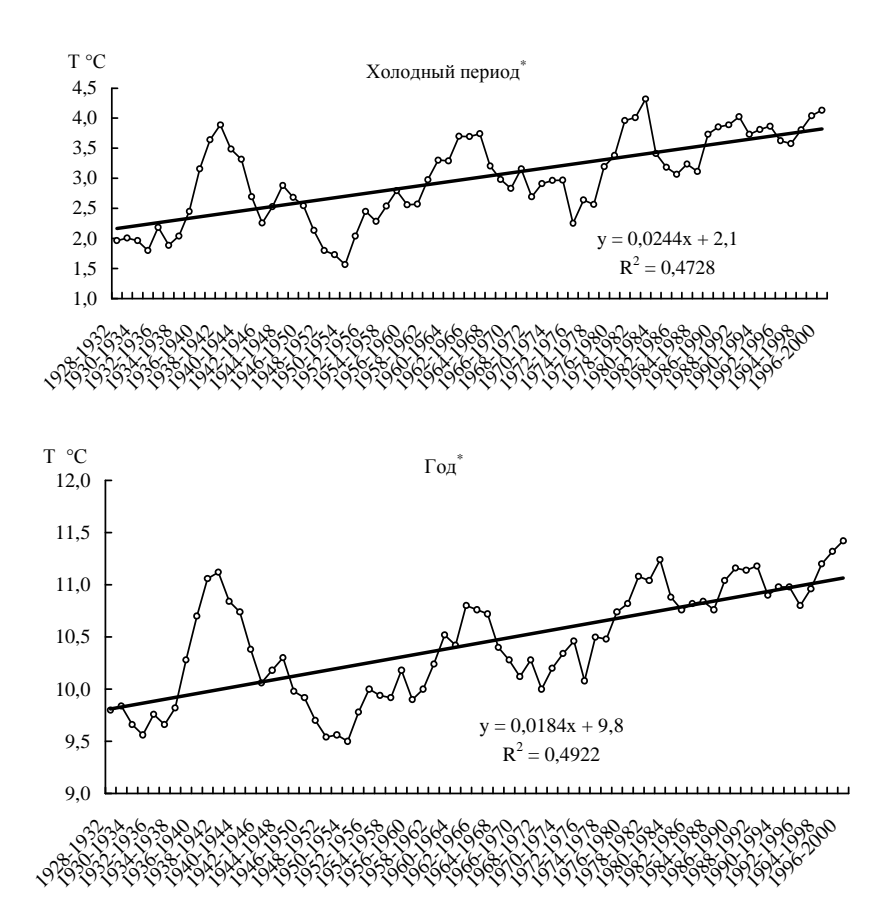
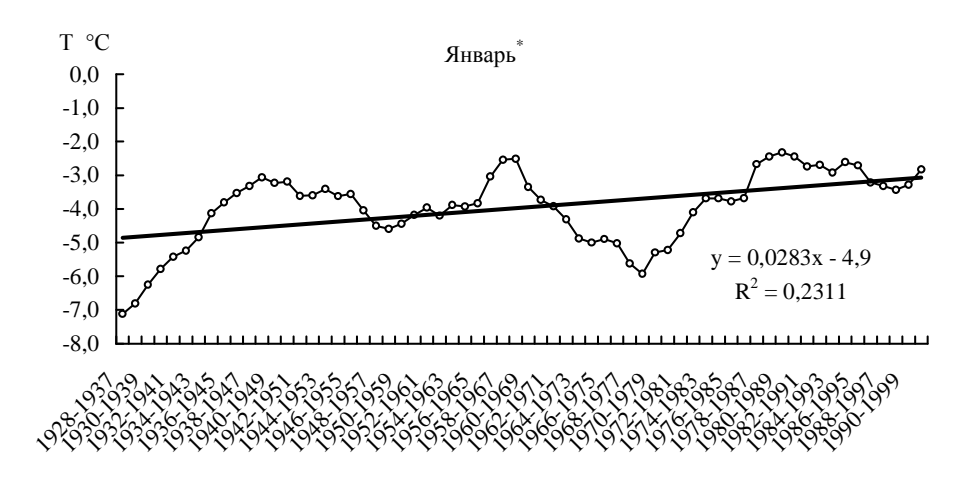
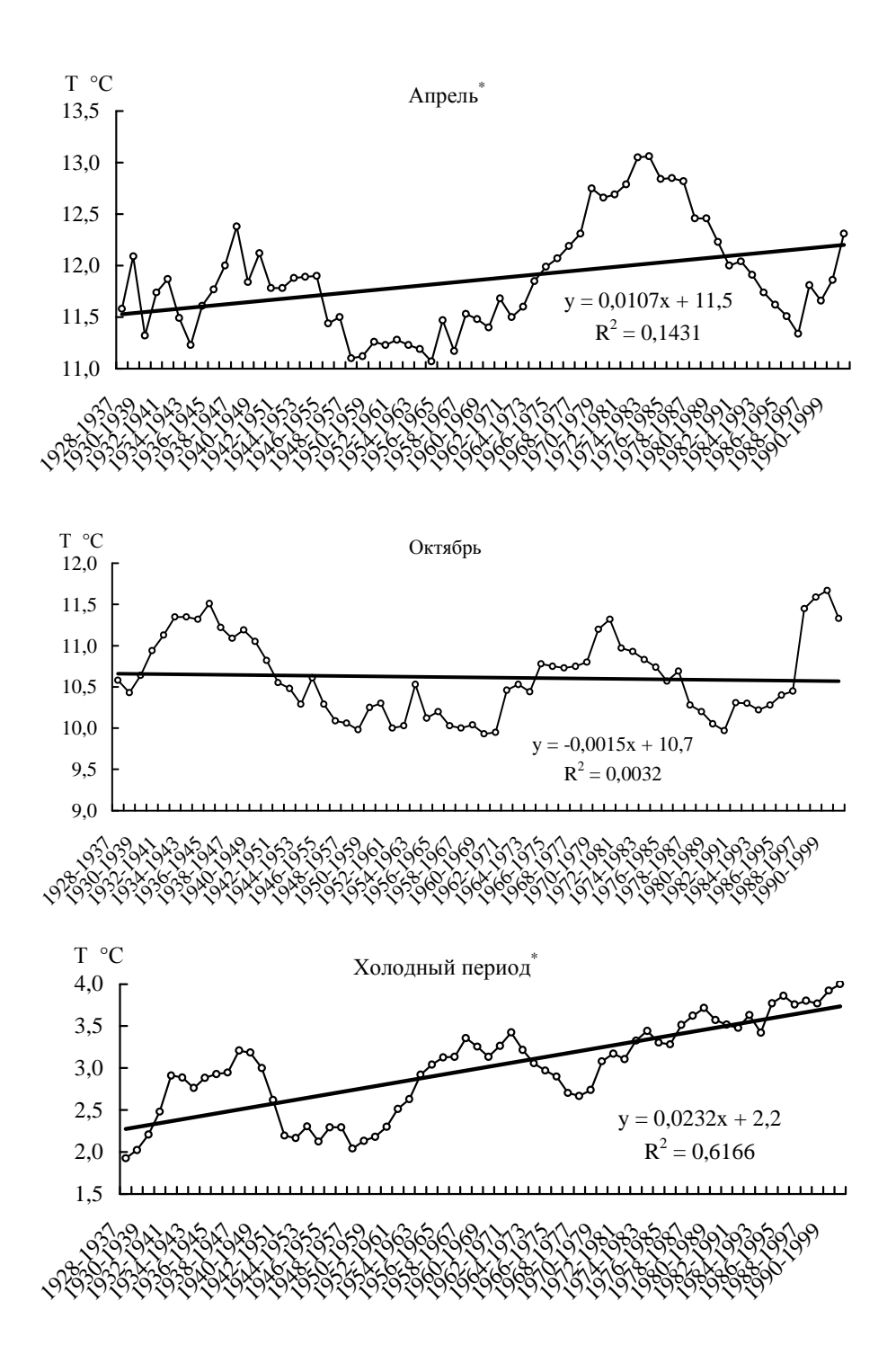


Рис. 1. 5-летние скользящие средние и их линейные тренды температуры воздуха, осредненной за год, холодный период и по центральным месяцам сезонов по M Бишкек ( $^*$  – отмечен значимый тренд).





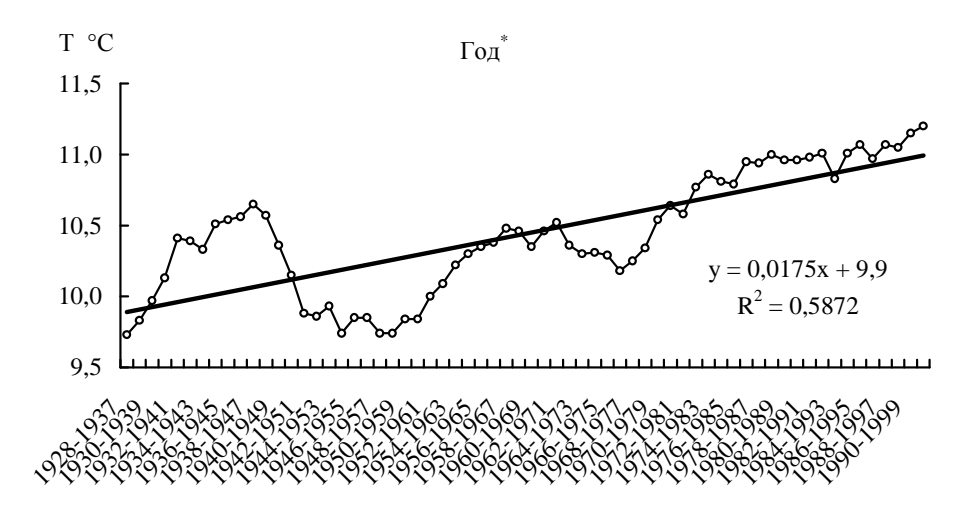


Рис. 2. 10-летние скользящие средние и их линейные тренды температуры воздуха, осредненной за год, холодный период и по центральным месяцам сезонов по M Бишкек ( $^*$  – отмечен значимый тренд).

В табл. 1 даны координаты точек основных максимумов и минимумов на кривых временного хода 5-летних средних, определяющих смену периодов потеплений и похолоданий, в табл. 2 и 3 приведены рассчитанные по всем станциям уравнения трендов для скользящих 5 и 10-летних средних с оценкой их значимости по t-критерию.

**Днища долин.** Чуйская долина. В днище Чуйской долины с 1928 по 2000 гг. самым теплым пятилетием было последнее (табл. 1) со средней годовой температурой 11,4 °C, а самыми холодными — пятилетия 1931...35 гг. и 1948...52 гг. с температурами 9,6 °C и 9,5 °C. На рис. 1 для года четко выделяются три основных максимума (1937...41 гг; 1961...65 гг. и 1996...2000 гг., причем, последний является условным, т.к. температура, возможно, будет продолжать повышаться), и 3 минимума (1931...35 гг.; 1948...52 гг. и 1968...72 гг.), которые достаточно хорошо совпадают с ходом глобальной температуры северного полушария [8]. В целом, для года положительный тренд 5-летних скользящих средних значим на уровне p = 0,95 и имеет угловой коэффициент  $\beta = 0,18$  °/10 лет, так что трендовое изменение температуры в пересчете на 100 лет оказалось равным 1,8 °C.

Для холодного периода временной ход 5-летних средних выражен более ярко, имея амплитуду  $2.8~^{\circ}$ С (рис. 1), и здесь дополнительно выделяется еще один максимум (1979...1983 гг.) и один минимум (1982..1986 гг.).

Таблица 1 Характеристики основных максимумов и минимумов на кривых временного хода 5-летних скользящих средних годовых температур воздуха (Т) по метеостанциям ССЗК, °С

Вид экстремума	Период	Т	Период	Т	Период	T	Период	T
экстремума	Fur	HICAI	(756 M. Uv	นักเก	а полине)			
	<b>Бишкек (756 м, Чуйская долина)</b> Максимум 19371941 11,1 19611965 10,8 19962000 11,4*							
Максимум	19371941	11,1	19611965	10,8	19962000	11,4		
Минимум	19311935	9,6	19481952	9,5	19681972	10,0		
Талас (1217 м, Таласская долина)								
Максимум	19381942	8,3	19621966	8,0	19791983	8,6	19962000	8,9*
Минимум	19331937	6,5	19481952	6,8	19721976	7,4	19921996	8,0
	Байтык (1579 м, Чуйская долина)							
Максимум					19771981	7,0	19962000	6,7*
Минимум	19181922	5,3	19331937	5,8	19481952	6,0	19921996	6,3
Тюя-Ашуу северная (3071 м, Чуйская долина)								
Максимум			19761980		-			
Минимум	19541958	-1,8	19721976	-1,7	19811985	-1,6		

*Примечание:* \* – условные экстремумы.

Таблица 2 Характеристики линейных трендов 5-летних скользящих средних температур приземного воздуха, осредненных за различные периоды года

Период	Уравнение тренда	β	$\sigma_{\scriptscriptstyleeta}$	Доверительный интервал $\beta$ при $p = 0.95$			
Бишкек, 756 м							
Год	y = 0.0184x + 9.8	$0,18^{*}$	0,002	0,014, 0,023			
Холодный	y = 0.0244x + 2.1	$0,24^{*}$	0,003	0,018, 0,031			
Январь	y = 0.0345x - 5.2	$0,34^{*}$	0,008	0,018, 0,051			
Апрель	y = 0.0076x + 11.6	0,08	0,004	-0,0001, 0,0153			
Октябрь	y = 0.0045x + 10.5	0,04	0,004	-0,004, 0,014			
<b>Байтык, 1579</b> м							
Год	y = 0.0076x + 6.1	$0,08^{*}$	0,002	0,004, 0,011			
Холодный	y = 0.0099x - 0.1	$0,10^{*}$	0,002	0,006, 0,014			
Январь	y = 0.0162x - 5.8	$0,16^{*}$	0,005	0,005, 0,027			
Апрель	y = 0.0049x + 6.6	0,05	0,003	-0,002, 0,012			
Октябрь	y = -0.0082x + 6.9	-0,08*	0,003	-0,015, -0,002			
Тюя-Ашуу северная, 3071 м							
Год	y = 0.0092x - 1.6	$0,09^{*}$	0,004	0,0005, 0,0179			
Холодный	y = -0.0181x - 6.4	-0,18*	0,005	-0,029, -0,007			
Январь	y = -0.0266x - 11.0	-0,27	0,016	-0,059, 0,006			
Апрель	y = -0.0053x - 0.9	-0,05	0,015	-0,035, 0,025			
Октябрь	y = 0.002x - 1.0	0,02	0,012	-0,023, 0,027			

Период	Уравнение тренда	β	$\sigma_{\scriptscriptstyleeta}$	Доверительный интервал $\beta$ при $p = 0.95$		
Талас, 1270 м						
Год	y = 0.0211x + 7.1	$0,21^{*}$	0,003	0,016, 0,026		
Холодный	y = 0.0287x + 0.1		0,003	0,021, 0,036		
Январь	y = 0.0264x - 6.1	$0,26^{*}$	0,010	0,007, 0,046		
Апрель	y = 0.0137x + 8.7	$0,14^{*}$	0,004	0,005, 0,022		
Октябрь	y = 0.005x + 7.8	0,05	0,004	-0,004, 0,014		

*Примечание:*  $\beta$  – угловой коэффициент, °C/10 лет,  $\sigma_{\beta}$  – стандартное отклонение  $\beta$ , доверительная вероятность p = 0,95, \* – значимый коэффициент.

Однако, в целом кривые изменения температур за год и холодный период хорошо совпадают. Коэффициент тренда  $\beta$  = 0,24 °C/10 лет значим при p = 0,95, так что трендовое повышение температуры в пересчете на 100 лет составило около 2,4 °C. Временной ход температуры января выражен более резко (амплитуда 5,4 °C), чем для холодного периода, но, в целом, кривая январской температуры хорошо совпадает с холодным периодом, имея 4 максимума и 4 минимума. Причем, самым теплым было 5-летие 1985...1989 гг. со средней температурой -1,9 °C. Самым холодными было пятилетие 1933...1937 гг. (-7,8 °C), что не совпадает с самыми холодными пятилетиями для года и холодного периода (1931...1935 гг.). Коэффициент тренда для января значим и равен  $\beta$  = 0,35 °C/100 лет — самый большой из месяцев года, дающий повышение температуры в пересчете на 100 лет, равное 3,5 °C.

Весной (апрель) колебания 5-летних средних в интервале 1928...2000 гг. также значительны (амплитуда 4,6 °C), но положение максимумов и минимумов не совпадает с предыдущими кривыми.

Самым теплым был период 1978...1982 гг., самым холодным — 1933...1937 гг. Тренд не значим  $\beta=0.08$  °C/10 лет. Осенью (октябрь) тренд еще меньше, ( $\beta=0.05$  °C/10 лет) и не значим. Колебания изменения температуры по фазе также носят индивидуальный характер. Самым теплым был период 1995...1999 гг., а самым холодным — пятилетия 1929...1933 гг. и 1983...1987 гг. Из всего этого можно сделать вывод, что основную роль в формировании временного хода средней годовой температуры и температуры холодного периода сыграли зимние месяцы.

*Таласская долина*. Как видно из данных табл. 1 и 2, здесь тенденция к общему и более значительному повышению 5-летних скользящих средних годовых температур воздуха и температуры холодного периода прослежива-

ется более четко, чем по данным остальных станций. В днище Таласской долины после холодного пятилетия 1933...1937 г.г.  $(6,5\,^{\circ}\text{C})$  наступает период почти плавного устойчивого повышения температуры воздуха до  $8,9\,^{\circ}\text{C}$  в 1996...2000 гг. — самого теплого пятилетия в году (табл. 1).

В скользящем среднем годовой температуры выделяются 4 основных максимума (1938...42 гг.; 1962...1966 гг., 1979...1983 гг. и 1996...2000 гг., причем, последний является условным, так как температура, возможно, будет продолжать подниматься) и 4 минимума (1933...1937 гг.; 1950...1954 гг., 1972...1976 и 1992...1996 гг.). В целом, положительный тренд 5-летних скользящих средних годовых температур значим на уровне p=0.95 и имеет угловой коэффициент  $\beta=0.21$  °/10 лет, так что трендовое изменение температуры в пересчете на 100 лет оказалось равным 2,1 °C (табл. 2).

Для холодного периода временной ход 5-летних средних выражен более ярко, имея амплитуду 3,3 °C (табл. 1), но наступление максимумов и минимумов практически синхронно с ходом годовой температуры. Коэффициент тренда  $\beta = 0.29$  °C/10 лет значим при p = 0.95, так что трендовое повышение температуры в пересчете на 100 лет составило около 2,9 °C.

Временной ход температуры января выражен еще более резко (амплитуда 7,0 °C), хотя, общий вид кривой январской температуры отличается от хода годовой температуры и холодном периоде но, в целом, январская кривая хорошо совпадает с холодным периодом, имея 4 максимума и 4 минимума. Самым теплым было 5-летие 1940...1944 гг. со средней температурой -2,7 °C. Самым холодным было пятилетие 1933...1937 гг. (-9,7 °C), что полностью совпадает с самыми холодными пятилетиями для года и холодного периода (1933...1937 гг.). Коэффициент тренда для января значим и равен  $\beta = 0,26$  °C/100 лет — самый большой из месяцев года, дающий повышение температуры в пересчете на 100 лет, равное 2,6 °C.

Весной (апрель) колебания 5-летних средних скользящих температур также значительны (амплитуда 3,1 °C), но положение максимумов и минимумов совершенно не совпадает с предыдущими кривыми. Самым теплым был период 1978...1982 гг., самым холодным — 1933...1937 гг. Тренд мал  $\beta$  = 0,14 °C/10 лет, но значим.

Осенью (октябрь) колебания 5-летних средних скользящих температур имеют амплитуду как и весной 3,0 °C, и положение максимумов и минимумов также не совпадает с предыдущими кривыми. Тренд еще меньше,  $\beta = 0.05$  °C/10 лет и не значим. Самым теплым был период

1995...1999 гг., а самым холодным — пятилетия 1949...1953 гг. и 1983...1987 гг.

Тенденция к общему повышению температуры воздуха во все месяцы в Таласе определяется настолько четко, что все коэффициенты значимы, за исключением осени. Также необходимо отметить синхронность наступления максимумов и минимумов в Чуйской и Таласской долинах.

Таким образом, в Таласской долине тенденция повышения температуры в холодный период, которая, как и в Чуйской долине, наиболее хорошо выражена зимой, играет основную роль в формировании временного хода температур года и холодного периода.

**Нижняя часть склонов.** Нижняя подгорная зона Чуйской долины (М Байтык) (табл. 1, 2) характеризуется более сглаженными периодами роста и спада температуры. Самым теплым пятилетием со средней годовой температурой было 1938...1942 гг. 7,3 °C, а самым холодным — 1918...1922 гг. с температурой 5,3 °C. Четко выделяются 4 максимума (1923...1927, 1938...1942, 1977...1981 и 1996...2000 гг.) и 4 минимума (1918...1922, 1933...1937, 1948...1952 и 1992...1996 гг.). В целом, для года тренд 5-летних скользящих средних значим на уровне p = 0,95, хотя и мал — угловой коэффициент  $\beta = 0.08$  °/10 лет.

Для холодного периода выделяются также 4 максимума и 4 минимума, первые три из которых, почти совпадают с ходом годовой температуры. Имея такую же амплитуду, как и для года, тенденция к повышению температуры в холодный период выражена более ярко. Коэффициент тренда  $\beta=0.10$ °C/10 лет и значим при p=0.95.

Временной ход температуры для января выражен более резко (амплитуда 4,7 °C), чем для года и холодного периода. Он имеет отличный рисунок от временного хода средней годовой температуры и температуры за холодный период, имея 3 максимума и 3 минимума. Причем, самым теплым было 5-летие 1959...1963 гг. со средней температурой -3,3°C. Самым холодным было пятилетие 1933...1937 гг. и 1969...1973 гг. (-8,0 °C). Коэффициент тренда для января значим и равен  $\beta$  = 0,16 °C/100 лет — самый большой из исследованных месяцев года.

Весной (апрель) колебания 5-летних средних в интервале 1915...2000 гг. меньше зимних (амплитуда 2.9 °C), положение экстремумов отличается от всех кривых. Самым теплым был период 1978...1982 гг., самым холодным — 1917...1921 гг. и 1933...1937 гг., что

совпадает с ходом температуры в днище Чуйской долины. Тренд мал  $\beta = 0.05$  °C/10 лет и не значим.

Осенью (октябрь) тренд отрицательный  $\beta = -0.08^{\circ}$  С/10 лет и значим на уровне p = 0.95. Амплитуда колебаний такая же, как и весной 3,0 °C. Самым теплым был период 1924...1928 гг., а самым холодным – пятилетие 1984...1988 гг.

Таким образом, в среднегорной зоне по 5-летним средним выявляется значимое повышение годовой температуры воздуха, холодном периоде и зимой, и значимое понижение осенью. Такая взаимная компенсация уменьшает тенденцию повышения температуры воздуха в году.

Верхняя часть склонов. Как видно из данных табл. 1 и 2, (М Тюя-Ашуу северная, 1954...1987 гг.), временной ход 5-летних средних годовых температур воздуха имеет более сглаженные периоды повышения и понижения температур. Самым теплым пятилетием в году был период 1976...1980 гг. со средней температурой -1,0 °C, а самым холодным – 1954...1958 гг. с температурой -1,8 °C. Ввиду малого периода наблюдений, на графике для средней годовой температуры четко выделяются 2 максимума (1959...1963 и 1976...1980 гг.) и 3 минимума (1954...1958, 1972...1976, 1981...1985 гг.). В целом, для средней за год температуры тренд 5-летних скользящих средних мал –  $\beta$  = 0,09°/10 лет, хотя и значим на уровне p = 0,95.

Для холодного периода выделяются также 2 максимума и 3 минимума, почти совпадающие с ходом годовой температуры, причем, в холодный период отмечается устойчивая тенденция к понижению температуры воздуха. Коэффициент тренда отрицателен  $\beta = -0.18$  °C/10 лет и значим при p = 0.95.

Временной ход температуры января имеет 2 максимума и 2 минимума. Самым теплым было 5-летие 1959...1963 гг. со средней температурой -10,0 °C, а самым холодным было пятилетие 1969...1973 гг. (-12,9 °C), как и во всей Чуйской долине. Отрицательный коэффициент тренда для января хотя и значителен  $\beta$  = -0,27 °C/100 лет, но не значим.

Весной (апрель) колебания 5-летних средних отличаются от всех предыдущих месяцев. Самым теплым был период 1958...1962 гг., самым холодным – 1964...1968 гг. Отрицательный тренд мал  $\beta$  = -0,05 °C/10 лет и не значим.

Осенью (октябрь) тренд очень мал  $\beta = 0.02$  °C/10 лет и не значим на уровне p = 0.95. Временной ход температуры имеет также 2 максимума и 2 минимума. Самым теплым был период 1976...1980 гг., а самым холодным — пятилетия 1964...1968 и 1983...1987 гг.

Таблица 3 Характеристики линейных трендов 10-летних скользящих средних температур приземного воздуха, осредненных за различные периоды года

Период	Уравнение тренда	β	$\sigma_{\scriptscriptstyleeta}$	Доверительный интервал			
Бишкек, 756 м							
Год	y = 0.0175x + 9.8719	$0,18^{*}$	0,002	0,014, 0,021			
Холодный	y = 0.0244x + 2.1417	$0,24^{*}$	0,002	0,018, 0,028			
Январь	y = 0.0283x - 4.8811	$0,28^{*}$	0,006	0,015, 0,041			
Апрель	y = 0.0107x + 11.518	$0,11^{*}$	0,003	0,004, 0,017			
Октябрь	y = -0.0015x + 10.662	-0,02	0,003	-0,001, 0,005			
<b>Байтык, 1579 м</b>							
Год	y = 0.0069x + 6.1561	$0.07^{*}$	0,001	0,005, 0,009			
Холодный	y = 0.0091x - 0.0479	$0,09^{*}$	0,001	0,007, 0,012			
Январь	y = 0.0183x - 5.8281	$0,18^{*}$	0,005	0,009, 0,028			
Апрель	y = 0.0052x + 6.6675	0,05	0,008	-0,011, 0,021			
Октябрь	y = -0.0108x + 6.9516	-0,11	0,012	-0,036, 0,014			
Тюя-Ашуу северная, 3071 м							
Год	y = 0.0098x - 1.5439	$0,10^{*}$	0,002	0,006, 0,014			
Холодный	y = -0.0162x - 6.4105	-0,16*	0,003	-0,022, -0,011			
Январь	y = -0.0406x - 10.917	-0,41*	0,014	-0,069, -0,012			
Апрель	y = 0.0246x - 1.3765	$0,25^{*}$	0,011	0,002, 0,047			
Октябрь	y = 0.0228x - 1.2712	$0,23^{*}$	0,009	0,005, 0,041			
Талас, 1270 м							
Год	y = 0.019x + 7.1941	$0,19^{*}$	0,002	0,015, 0,023			
Холодный	y = 0.0254x + 0.3392	$0,25^{*}$	0,002	0,021, 0,029			
Январь	y = 0.0145x - 5.5667	$0,14^{*}$	0,007	0,001, 0,028			
Апрель	y = 0.0147x + 8.7015	$0,15^{*}$	0,004	0,005, 0,022			
Октябрь	y = 0,0013x + 7,8684	0,01	0,004	-0,006, 0,008			

Примечание:  $\beta$  — угловой коэффициент, °C/10 лет,  $\sigma_{\beta}$  — стандартное отклонение  $\beta$ , доверительная вероятность p=0.95, \*— значимый коэффициент.

Таким образом, в высокогорной зоне по 5-летним средним выявляется значимое повышение годовой температуры воздуха и значимое ее понижение за холодный период. Основной вклад в повышение годовой температуры воздуха вносит потепление в теплый период года. Такая взаимная компенсация уменьшает тенденцию повышения годовой температуры

воздуха. В табл. 3 в дополнение к сделанному анализу приведены рассчитанные по значениям 10-летних скользящих линейные тренды и оценена их значимость. Как видно из этих данных, графики хода 10-летних средних температур воздуха более сглажены по сравнению с 5-летними.

Общий характер изменения температуры воздуха сохраняется, изменения в значимости некоторых угловых коэффициентов трендов, по существу, произошли лишь в высокогорной зоне – все изменения температуры стали значимы.

Таким образом, в целом в году, в холодный период и в январе для всех зон коэффициенты трендов 5 и 10-летних скользящих средних температур для долин и нижней части склонов оказались положительными и значимыми. В другие сезоны они могут быть как значимыми, так и не значимыми.

В высокогорной зоне картина обратная: 10-летние средние температуры в холодный период и в январе дают отрицательный значимый тренд, а в апреле, октябре и в целом за год значимый положительный. По 5-летним средним скользящим температурам значимы только отрицательный тренд для холодного сезона и положительный – для года.

Правда, в высокогорной зоне возможна неопределенность из-за ограниченности материала (данные за период 1954...1987 гг.). Хотя тренд изменений температуры для года, холодного периода и зимы оказались отрицательными, это может быть следствием неполноты ряда в начале и конце рассматриваемого периода, так как фактически имеются данные только по неполной второй половине 20 века.

Если предположить, что неопределенность отсутствует, то можно сделать вывод о противоположных тенденциях в многолетнем изменении температуры в долинах и низкогорных зонах склонов по сравнению с высокогорными. А именно повышение температуры зимой и в целом за холодный период для первых и понижение для вторых. В целом, анализ временных трендов 5 и 10-летних средних, полученных по исходным рядам средних месячных температур, как, и следовало ожидать, дал практически совпадающие результаты.

## СПИСОК ЛИТЕРАТУРЫ

- 1. Бакиров К.Б. Тенденции изменения температуры воздуха и атмосферных осадков в высокогорной зоне Внутреннего Тянь-Шаня // Погода и климат Кыргызстана. Вып. 1. Бишкек: Изд. КРСУ, 2004. С. 31-33.
- 2. Брусенская И.С., Подрезов О.А. Тенденция изменения температуры воздуха в конце XX века и сценарии ее изменений в XXI веке в высокогорной зоне Кыргызстана. // Погода и климат Кыргызстана. Вып. 1. Бишкек: Изд. КРСУ, 2004. С. 15-20.
- 3. Груза Г.В., Ранькова Э.Я. Обнаружение изменений климата: состояние, изменчивость и экстремальность климата. // Метеорология и гидрология. 2004. №4. С. 50-67.
- 4. Дроздов О.А. Роль статистических закономерностей в метеорологии и климатологии. // Труды ГГО. 1965. Вып. 181. С. 48-69.
- 5. Дроздов О.А., Орлова В.В., Швер Ц.А. К вопросу об оптимальной длительности периода осреднения при климатологических исследованиях. // Труды ГГО. 1965. Вып. 181. С. 14-45.
- 6. Изменение климата, 2001 г. Обобщенный доклад ВМО/ЮНЕП. 210 с.
- 7. Кобышева Н.В., Наровлянский Г.Я. Климатическая обработка метеорологической информации. Л.: Гидрометеоиздат, 1978. 295 с.
- 8. Наш будущий климат/ВМО, №925. Женева, 2003. 37 с.
- 9. Первое национальное сообщение Кыргызской Республики по Рамочной конвенции ООН об изменении климата. Бишкек, 2003. 98 с.

Кыргызско-Российский Славянский университет, Кыргызстан, г. Бишкек

## СОЛТҮСТІК, СОЛТҮСТІК-БАТЫС ҚЫРҒЫЗСТАН АУМАҒЫНДАҒЫ ОРТАША АУА ТЕМПЕРАТУРАСЫНА ЖЕР БЕДЕРІ ЭЛЕМЕНТТЕРІНІҢ ӘСЕРІ

М.В. Перова

Орташа ауа температурасының ұзақ кезеңдік тербелісін анықтау үшін олардың жылжымалы 5 жылдық және 10 жылдық мәндері және 2000 жыл бойынша құрал сайманды бақылау уақытындағы уақыттық тренд Солтүстік, Солтүстік - батыс Қырғыстан: Бішкек, Байтық, солтүстік Тюя-Ашуу және Таластағы 4 метеорологиялық станцияларға арнап есептелді. Биік таулы зоналармен салыстырғанда аңғарлар мен беткейлердің аласа таулы зоналарында температураның көпжылдық өзгеруінде қарама — қайшы тенденциялар бары жөнінде шешім жасауға болады: салыстырғанда аңғарлар мен беткейлердің аласа таулы зоналарында қыс мезгілінде

және түгелімен суық кезеңде температураның көтерілуі ал биік таулы зоналарда төмендеуі.